



HAL
open science

De l'utilisation d'OBD pour la sélection de variables dans les Perceptrons Multi-couches

Philippe Leray, Patrick Gallinari

► **To cite this version:**

Philippe Leray, Patrick Gallinari. De l'utilisation d'OBD pour la sélection de variables dans les Perceptrons Multi-couches. *Revue des Sciences et Technologies de l'Information - Série RIA : Revue d'Intelligence Artificielle*, 2001, 15 (3-4), pp.373-391. 10.3166/ria.15.373-391 . hal-01176949

HAL Id: hal-01176949

<https://hal.science/hal-01176949v1>

Submitted on 4 Oct 2023

HAL is a multi-disciplinary open access archive for the deposit and dissemination of scientific research documents, whether they are published or not. The documents may come from teaching and research institutions in France or abroad, or from public or private research centers.

L'archive ouverte pluridisciplinaire **HAL**, est destinée au dépôt et à la diffusion de documents scientifiques de niveau recherche, publiés ou non, émanant des établissements d'enseignement et de recherche français ou étrangers, des laboratoires publics ou privés.

De l'utilisation d'OBD pour la sélection de variables dans les perceptrons multicouches

Philippe Leray¹ — Patrick Gallinari²

¹ INSA Rouen / PSI
BP 08 - Av. de l'Université
76801 St-Etienne du Rouvray Cedex
Philippe.Leray@insa-rouen.fr

² Université Paris 6 / LIP6
8 rue du Capitaine Scott
75015 Paris
Patrick.Gallinari@lip6.fr

RÉSUMÉ. La sélection de variables est un problème difficile à résoudre. Comment choisir l'ensemble des variables pertinentes pour résoudre une tâche fixée ? La sélection de variables neuronale essaye de résoudre le problème pendant l'apprentissage du réseau de neurones. Parmi les méthodes utilisées avec les réseaux de neurones de type perceptron multicouches, certaines sont issues d'une technique d'élagage des poids, OBD (Optimal Brain Damage), proposée par LeCun et al. en 1990. Après avoir rappelé ces différentes méthodes, cet article montre comment essayer de les améliorer en suivant quelques principes simples. Une étude comparative situera ces différentes méthodes par rapport à d'autres techniques statistiques ou neuronales.

ABSTRACT. Feature Selection is a complex problem. How to determine the set of relevant features according to a fixed task ? Neural Feature Selection try to solve the problem during the neural network learning. Some frequently used methods are derived from a pruning technique, OBD, proposed in 1990 by LeCun and al. This article review these methods and propose some enhancements by using some simple rules. A study will then compare the previous methods and other classical ones.

MOTS-CLÉS : perceptron multicouches, élagage.

KEYWORDS: multilayer perceptron, pruning.

1. Introduction

Les méthodes de sélection de variables sont composées généralement de trois composantes : un critère d'évaluation des variables, une procédure de recherche pour explorer l'espace des différentes combinaisons de variables et un critère d'arrêt. Nous allons aborder ici les méthodes de sélection de variables neuronales dont le critère d'évaluation est dérivé de la technique d'élagage des poids OBD (*Optimal Brain Damage*) proposée par [LEC 90]. Dans des études précédentes [LER 97] [LER 99], une comparaison des différentes composantes des méthodes de sélection de variables nous a permis de passer en revue les techniques de sélection de variables dérivées d'OBD et de proposer quelques améliorations à ces méthodes.

Après avoir fait quelques rappels à propos des différents critères mis en œuvre lors de la sélection de variables par réseaux de neurones, nous présenterons les méthodes dérivées d'OBD ainsi que les variantes proposées dans la littérature. Nous proposerons aussi plusieurs améliorations à ces méthodes. Dans le cadre de la classification, une étude comparative sur plusieurs problèmes artificiels ou réels situera ces diverses méthodes par rapport à d'autres techniques classiques de sélection de variables neuronales. Pour finir, quelques remarques et perspectives concluront cette étude.

2. Sélection de variables et réseaux de neurones

La détermination de variables pertinentes est un problème essentiel dans l'identification de modèles. De nombreuses publications comme [LER 99] et [ZAP 99] essaient de procéder à un état de l'art des différentes méthodes utilisées. Il est pratique de voir les techniques de sélection de variables sous trois angles différents, trois composantes qu'il est possible de régler séparément :

- un critère d'évaluation des variables, pour comparer différents sous-ensembles de variables et en retenir un,
- une procédure de recherche, pour explorer l'espace des différentes combinaisons de variables,
- un critère d'arrêt, pour stopper la procédure de recherche ou déterminer l'ensemble de variables à sélectionner.

Nous allons nous intéresser à ces trois critères pour les méthodes de sélection de variables neuronales.

2.1. Critère d'évaluation (*mesure de pertinence*)

Les mesures de pertinence associées aux méthodes de sélection de variables neuronales sont souvent basées sur des heuristiques calculant l'importance individuelle de chaque variable dans le modèle obtenu après apprentissage. Ces heuristiques sont

nombreuses, mais peuvent être classées selon leurs similarités en quatre grandes familles :

- les mesures d’ordre zéro (*i.e.* utilisant les valeurs des paramètres du réseau),
- les mesures du premier ordre (*i.e.* utilisant les dérivées du premier ordre des paramètres du réseau),
- les mesures du second ordre (*i.e.* utilisant les dérivées du second ordre des paramètres du réseau),
- les termes de régularisation permettant de pénaliser les variables inutiles pendant l’apprentissage.

Seules les mesures du second ordre nous intéresseront dans ce document. Le lecteur pourra se référer à [LER 99] pour une revue des trois premières mesures ou à [GRA 98a] [GRA 98b] pour le lien entre régularisation et sélection de variables.

2.2. Procédure de recherche

En général, le critère d’évaluation utilisé pour la sélection de variables n’est pas monotone. Il faudrait donc examiner l’ensemble des $2^k - 1$ sous-ensembles possibles de k variables. Cette solution, combinatoire par rapport au nombre de sous-ensembles, est inapplicable pour des valeurs même modérées de k .

Les procédures de recherche couramment utilisées sont donc très souvent des heuristiques basées sur des parcours séquentiels de recherche (cf. *e.g.* [KIT 86]) *forward* ou *backward*. D’autres méthodes plus complexes et pour la plupart sous-optimales sont issues de techniques de parcours de graphes.

Une grande partie des méthodes de sélection de variables neuronales sont des méthodes *backward*, où les variables sont éliminées grâce à des considérations sur les paramètres du réseau et/ou sur les données. Il existe aussi des méthodes de construction incrémentale de réseaux de neurones qui peuvent être considérées comme des méthodes de sélection *forward* où des neurones sont ajoutés itérativement en entrée [MOO 94] [GOU 97].

Un problème se pose lorsque sont utilisés conjointement une évaluation individuelle des variables et un parcours séquentiel : les dépendances entre les variables ne sont pas prises en compte explicitement. De plus, à cause de la non-linéarité des RN, la corrélation entre variables n’est plus un indicateur satisfaisant de leur dépendance. Certaines méthodes de sélection de variables ignorent simplement ce problème, d’autres proposent d’éliminer une variable à la fois et de réapprendre ensuite le nouveau réseau ainsi obtenu avant d’évaluer l’importance des variables restantes. Cette solution permet de tenir compte des dépendances entre variables que le réseau aura découvert grâce au réapprentissage. Le problème de l’initialisation des poids se pose aussi au moment du réapprentissage : faut-il partir des poids obtenus avec le réseau précédent ou les réinitialiser aléatoirement ? Ce problème reste ouvert, mais il semble judicieux

de réinitialiser les poids aléatoirement à chaque étape pour obtenir de meilleures performances au prix d'un apprentissage souvent plus long.

2.3. Critère d'arrêt

Une fois que les méthodes d'évaluation et de recherche ont été fixées, il va falloir examiner tous les sous-ensembles fournis par la méthode de recherche.

Une bonne heuristique, dont la complexité est suffisamment raisonnable dans la plupart des applications, est d'estimer l'erreur en généralisation pour les différents sous-ensembles de variables sélectionnés. L'ensemble de variables idéal est celui qui donne les meilleures performances. L'erreur de généralisation peut être estimée grâce à un ensemble de validation, par validation croisée ou par des estimations algébriques comme FPE (*Final Prediction Error*, [AKA 70]). Plusieurs mesures ont été proposées en statistiques [GUS 95] ou pour les réseaux de neurones [MOO 91] [LAR 94].

La plupart des méthodes de sélection de variables utilisent des techniques assez rudimentaires pour arrêter la sélection : certaines méthodes fixent un seuil par rapport au critère de pertinence, d'autres classent juste les variables en fonction de l'estimation de l'erreur en généralisation. [Van 97] propose un critère d'arrêt intéressant basé sur un test statistique. Il effectue l'équivalent d'un test de Student sur les erreurs quadratiques (en régression) ou les taux d'erreur (en classification) de deux modèles pour décider si leurs moyennes sont statistiquement égales. Pour cela, il est nécessaire d'effectuer la sélection de variables jusqu'au bout (*i.e.* éliminer ou sélectionner les k variables) et choisir le plus petit modèle obtenu avec une erreur statistiquement proche de l'erreur minimale. Nous proposons un critère d'arrêt similaire en 3.3.

3. Méthodes du second ordre

Plusieurs méthodes de sélection de variables sont inspirées des techniques d'élagage des poids dans le réseau de neurones. La décision de supprimer un poids est faite selon un critère de pertinence. Une connexion est coupée si sa pertinence est faible. Après avoir présenté une technique d'élagage précise (*Optimal Brain Damage*), nous passerons en revue les différentes méthodes de sélection de variable qui en ont découlé. Nous proposerons aussi des variantes à ces méthodes à partir de considérations générales issues de [LER 97] et [LER 99].

3.1. L'élagage des poids par Optimal Brain Damage (OBD)

[LEC 90] a proposé une technique d'élagage appelée OBD, où il définit la pertinence d'une connexion par :

$$Pertinence(w_j) = \frac{1}{2} H_{jj} w_j^2 = \frac{1}{2} \frac{\partial^2 J}{\partial w_j^2} w_j^2 \quad [1]$$

où J est la fonction de coût (erreur quadratique), H sa matrice hessienne (dérivée seconde par rapport aux paramètres w). Le Hessien de la fonction de coût est utilisé pour calculer la dépendance du modèle par rapport aux poids.

Pour utiliser cette mesure de pertinence d'une connexion comme critère de sélection d'une variable, il faut calculer la pertinence d'un neurone de la couche d'entrée en faisant l'approximation suivante :

$$Pertinence(x_i) = \sum_{j \in FanOut(i)} Pertinence(w_j) \quad [2]$$

où $FanOut(i)$ représente l'ensemble des poids partant de la variable i .

3.2. La sélection de variables par Optimal Cell Damage (OCD)

OCD a été proposé dans [CIB 94] [CIB 96], une méthode équivalente étant proposée au même moment dans [MAO 94]. Cette méthode généralise la technique d'élagage OBD à la sélection de variables.

En utilisant les équations 1 et 2, nous obtenons :

$$S_i = Pertinence(x_i) = \frac{1}{2} \sum_{j \in FanOut(i)} \frac{\partial^2 J}{\partial w_j^2} w_j^2 \quad [3]$$

OBD et OCD considèrent que H , le Hessien de la fonction de coût, est une matrice diagonale. En faisant l'approximation du coût par une fonction quadratique (développement de Taylor du second ordre), les termes croisés sont négligés. Cela revient à supposer que l'influence sur le coût de la suppression simultanée de deux poids est la somme des influences des deux suppressions réalisées individuellement. Dans le cas d'un PMC, le Hessien " diagonal " peut alors être estimé en $O(N)$ (où N est le nombre d'exemples). Dans le cas des réseaux récurrents, le calcul est plus difficile [PED 96].

Cibas a proposé un algorithme de sélection de variable *backward* basé sur l'équation 3 :

Algorithme OCD (plus de détails dans [CIB 94] [CIB 96])

0. Répéter la rétropropagation jusqu'à convergence de la variation du coût estimé sur des données de validation (la convergence est déterminée en comparant la variation du coût à un seuil θ)
1. Calculer la pertinence de chaque entrée grâce à l'équation 3
2. Trier les entrées par ordre croissant de pertinence
3. Supprimer les entrées dont la pertinence cumulée $S'_i = \sum_{j=1}^i S_j$ est inférieure à un seuil fixé q
4. Recommencer en 0 tant que les performances estimées sur une base de test ne chutent pas.

Dans l'article original de Cibas ([CIB 94]), les hyperparamètres θ et q sont déterminés par validation croisée, ce qui mène à de nombreux calculs. Pour essayer de nous démarquer du choix des hyperparamètres, nous avons donc proposé la variante suivante.

3.3. N-OCD, notre variante d'OCD

Suite aux travaux de [CIB 96], nous avons proposé une variante d'OCD (N-OCD) qui distingue bien les critères mis en œuvre pour la sélection de variable en essayant d'améliorer l'évaluation de la mesure de pertinence et celle du critère d'arrêt.

3.3.1. Evaluation de la mesure de pertinence

OCD donne de bons résultats mais possède un inconvénient : si le seuil q est trop élevé, l'algorithme peut supprimer des variables significatives. De même, un grand nombre de variables de pertinence faible ne signifie pas que toutes ces variables sont inutiles et à éliminer. C'est la raison pour laquelle nous proposons une autre version d'OCD où nous n'utilisons pas le seuil q . Nous supprimons les variables une par une en réapprenant le perceptron multicouches et en réestimant les mesures de pertinence à chaque fois.

3.3.2. Critère d'arrêt

Un autre problème se pose alors : quel critère d'arrêt utiliser ? L'estimation de l'erreur en généralisation avec un ensemble de test fournit un critère d'arrêt non monotone, qui oscille au fur et à mesure de la sélection. Il est assez brutal de s'arrêter dès que les performances en test diminuent. Notre variante d'OCD va donc supprimer toutes les variables jusqu'à la dernière (étapes 0 à 5 de l'algorithme) et déterminer ensuite quel sous-ensemble de variables il faut sélectionner grâce à un test statistique (étapes 6 à 8).

Algorithme N-OCD

0. Pour $p = k$ jusqu'à 1 (nombre de variables)
1. Estimer les paramètres du perceptron multicouches ayant p entrées (en utilisant par exemple une technique de *early stopping* pour arrêter l'apprentissage)
2. Estimer l'erreur $J(p)$ (sur un ensemble de test)
3. Calculer la pertinence de chaque entrée grâce à l'équation 3
4. Supprimer la variable la moins pertinente
5. Retourner en 0.
6. $J_o = \min(J(p))$ (pour $p = p_o$)
7. $\{p_i\} = \{p / J(p) \simeq J_o \text{ au sens de Fisher (equation 4)}\}$
8. $p_o^* = \min(p_i)$

Supposons que nous possédons initialement k variables. Grâce à notre algorithme nous obtenons un ensemble de k modèles ayant de moins en moins de variables. No-

tons $F(p)$ (de $p = 1$ à k variables) ces modèles et $J(p)$ l'erreur en généralisation estimée sur des données de test.

Le premier réflexe est ensuite de choisir le réseau $F_o = F(p_o)$ qui obtient la plus petite erreur J_o . Malheureusement, le nombre de données servant à estimer l'erreur est limité, il existe sûrement d'autres modèles donnant à peu près la même erreur.

En considérant que $J(p)$ est l'estimation de la variance de l'erreur commise par le modèle $F(p)$, il est possible de faire un test de Fisher pour comparer l'erreur du modèle $F(p)$ et celle de F_o (équation 4) :

$$J(p_i) \simeq J_o \quad \text{ssi} \quad \frac{J(p_i)}{J_o} < F_q(N - 1, N - 1, 1 - \alpha) \quad [4]$$

où N est le nombre d'exemples, F_q le quantile d'une loi de Fisher et α le niveau de signification du test. En théorie, ce test s'applique pour des échantillons gaussiens ce qui n'est pas toujours le cas. Par contre, le fait que l'estimateur de la variance soit asymptotiquement gaussien nous conforte dans l'utilisation du test de Fisher (cf. [SAP 90] pour plus d'informations sur le test de Fisher).

Nous obtenons ainsi un ensemble de modèles tels que $J(p_i) \simeq J_o$. En posant comme hypothèse que nous cherchons le plus petit ensemble de variables possible, il suffit de prendre $p_o^* = \min(p_i)$ *i.e.* le plus petit modèle statistiquement proche du modèle obtenant une erreur en test minimale.

Cette méthode, testée sur les mêmes problèmes qu'OCD, permet ainsi d'obtenir à chaque fois un modèle avec de bonnes performances et un nombre plus faible de variables.

3.4. D'autres variantes

Revenons à l'hypothèse de diagonalité du Hessien faite par OBD et OCD : elle permet de calculer le Hessien rapidement mais au prix d'approximations fortes. [HAS 93] propose une autre technique d'élagage OBS qui calcule entièrement le Hessien (calcul en $O(N^2)$). Cette méthode, qui n'est pas envisageable pour des valeurs de N élevées ou un grand nombre de poids, a cependant un avantage : elle permet de mettre à jour immédiatement les poids du réseau après la suppression d'une connexion. De plus, [HAS 94] montre sur plusieurs exemples qu'OBS donne de meilleures performances en généralisation qu'OBD.

De la même manière qu'OCD utilisait le calcul de pertinence des poids donné par OBD, Unit-OBS proposé dans [STA 97] se sert du calcul de pertinence des poids donné par OBS pour supprimer des variables. L'avantage de cette méthode est qu'il n'est plus nécessaire de recalculer le Hessien à chaque élimination d'un poids, mais à chaque suppression d'une variable.

Quelle que soit la méthode utilisée (OBD ou OBS), la pertinence d'une connexion (ou d'une variable) est calculée à partir des mêmes données que celles utilisées pour

l'apprentissage. [PED 96] proposent deux nouvelles méthodes d'élagage γ OBD et γ OBS qui calculent la pertinence en fonction d'une approximation de l'erreur en généralisation obtenue grâce au critère FPE *Final Prediction Error* [AKA 70]. Comme OBD et OBS, γ OBD et γ OBS pourraient aussi être transformées en techniques de sélection de variables.

3.5. Une autre variante : Early Cell Damage (N-ECD)

L'hypothèse de base d'OBD et d'OBS est que la fonction de coût a atteint un minimum local. En pratique, l'apprentissage du réseau de neurones est arrêté par Early Stopping, avant que le minimum local ne soit atteint. [TRE 97] propose donc deux nouvelles variantes d'OBD et OBS : EBD (*Early Brain Damage*) et EBS (*Early Brain Surgeon*). A partir de considérations heuristiques, il ajoute deux nouveaux termes dans le calcul de la pertinence des poids pour prendre en compte le fait que la dérivée de la fonction de coût n'est pas nulle à la fin de l'apprentissage.

Nous proposons d'étendre cette méthode d'élagage pour obtenir une nouvelle mesure de pertinence donnée par l'équation 5, en continuant à utiliser notre test statistique comme critère d'arrêt. Soit N-ECD (ECD pour *Early Cell Damage*) la méthode ainsi obtenue.

$$S_i = \frac{1}{2} \sum_{j \in FanOut(i)} \frac{\partial^2 J}{\partial w_j^2} w_j^2 - 2 \frac{\partial J}{\partial w_j} w_j + \frac{(\frac{\partial J}{\partial w_j})^2}{\frac{\partial^2 J}{\partial w_j^2}} \quad [5]$$

Algorithme N-ECD

0. Pour $p = k$ jusqu'à 1 (nombre de variables)
1. Estimer les paramètres du perceptron multicouches ayant p entrées (en utilisant par exemple une technique de *early stopping* pour arrêter l'apprentissage)
2. Estimer l'erreur $J(p)$ (sur un ensemble de test)
3. Calculer la pertinence de chaque entrée grâce à l'équation 5
4. Supprimer la variable la moins pertinente
5. Retourner en 0.
6. $M^o = \min(J(p))$
7. $\{p_i\} = \{p / J(p) \simeq J_o \text{ au sens de Fisher (equation 4)}\}$
8. $p_o^* = \min(p_i)$

Comparons N-OCD et N-ECD sur le problème des vagues de Breiman à 40 variables (décrit dans le paragraphe 4.2). La figure 1 montre que N-OCD et N-ECD ont un comportement assez proche : le taux d'erreur des modèles obtenus successivement par les deux méthodes stagne autour de 15 % jusqu'au moment où il ne reste plus assez de variables pour résoudre correctement le problème. Par contre, le taux d'erreur des modèles obtenus par N-ECD est inférieur à ceux de N-OCD. Cette figure illustre aussi de manière générale l'utilité du test statistique comme critère d'arrêt : il permet

de trouver, sur cet exemple, le modèle le plus intéressant, avec le moins de variables possibles et de bonnes performances

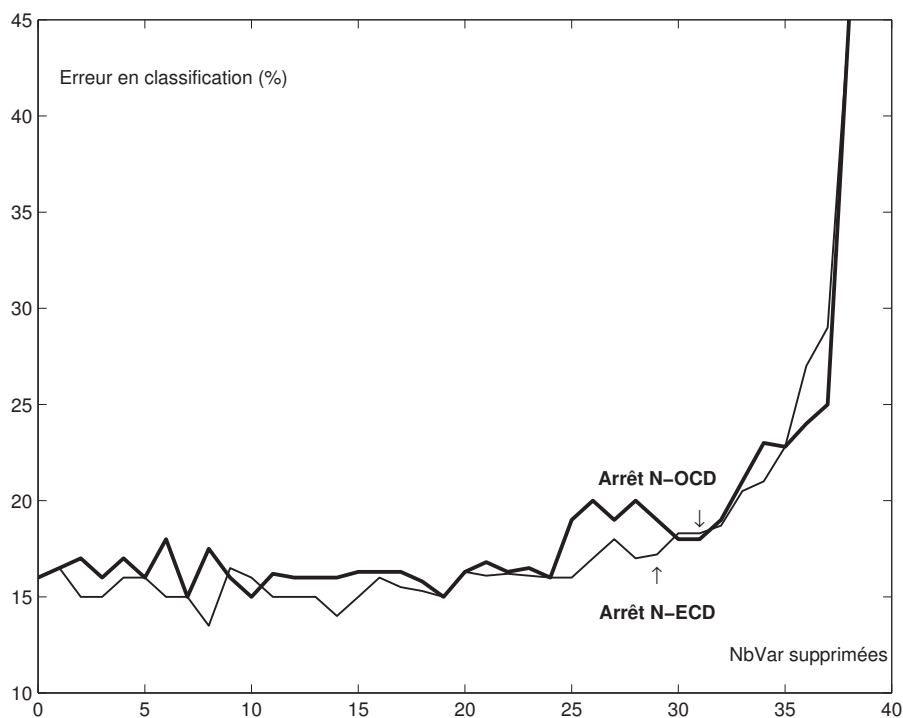


Figure 1. Comparaison des performances des modèles obtenus progressivement par N-OCD (en trait épais) et N-ECD (en trait simple) sur le problème des vagues de Breiman à 40 variables. L'axe horizontal représente le nombre de variables supprimées, l'axe vertical représente le taux d'erreur du modèle (en test)

4. Etude comparative

Nous allons présenter les résultats obtenus avec des méthodes de sélection de variables couvrant la plupart des techniques présentées dans [LER 99] :

- une méthode statistique (Stepdisc) basée sur le Lambda de Wilks, mesure de pouvoir discriminant classique en Analyse de Données (cf. [AUR 91]),
- une méthode issue de la théorie de l'information, MIFS [BON 94] [BAT 94], basée sur l'information mutuelle,
- des méthodes neuronales de différents ordres (cf. 2.1) :
 - ordre 0 : HVS [YAC 97]
 - ordre 1 : SBP [MOO 92], Ruck [RUC 90], Dorizzi [DOR 96], Czernichow [CZE 96]
 - ordre 2 : N-OCD (3.3), N-ECD (3.5)

Il est extrêmement délicat d'essayer de comparer quantitativement des différentes méthodes de sélection de variables. Il n'y a pas de mesure de pertinence idéale et la précision de la sélection dépend fortement du type de parcours utilisé et du critère d'arrêt. Dans le cas des méthodes connexionnistes, il serait évidemment possible

d'échanger chacun de ces critères d'une méthode à l'autre. Le tableau 1 essaye de récapituler les différentes caractéristiques des méthodes utilisées dans cette étude.

Méthode	Parcours	Critère d'arrêt
Stepdisc	Stepwise	Test statistique
Bonnlander (MIFS)	Forward	Seuil (0.99)
Yacoub (HVS)	Backward	Variation des performances en test
Moody (SBP)	Backward (sans réapprentissage)	Variation des performances en test
Ruck	Backward (sans réapprentissage)	Seuil (moyenne des pertinences)
Dorizzi	Backward (sans réapprentissage)	Seuil (moyenne des pertinences)
Czernichow	Backward (sans réapprentissage)	Seuil (moyenne des pertinences)
Cibas, Leray (N-OCD)	Backward	Test statistique
Leray (N-ECD)	Backward	Test statistique

Tableau 1. Récapitulatif des composantes (type de parcours et critère d'arrêt) des différentes méthodes comparées dans cette étude. Le détail des mesures de pertinence utilisées est détaillé dans [LER 99]

Nous avons choisi d'appliquer ces méthodes de sélection de variables à différents problèmes artificiels de classification permettant de mettre à jour leurs qualités ou défauts respectifs :

- comportement face à un problème non linéaire (4.1),
- comportement face à des variables inutiles (4.2),
- influence du critère d'arrêt (4.3),
- comportement face à des données très corrélées (4.4).

Nous présenterons ensuite les résultats obtenus par N-OCD pour un problème réel de diagnostic (4.5).

Pour chaque problème, nous indiquons les performances en test d'un réseau de neurones de type perceptron multicouches (avec une seule couche cachée de 10 neurones), l'ensemble de variables sélectionnées par chacune des méthodes et les performances du réseau de neurones correspondant. L'intervalle de confiance à α % est donné par la formule suivante, expliquée dans [BEN 92] avec N nombre d'exemples, T performance du classifieur, $Z_{\alpha/2}$ fractile de la loi normale et α le niveau de signification du test.

$$I(\alpha, N) = \frac{T + \frac{Z_{\alpha/2}^2}{2N} \pm Z_{\alpha/2} \sqrt{\frac{T(1-T)}{N} + \frac{Z_{\alpha/2}^2}{4N^2}}}{1 + \frac{Z_{\alpha/2}^2}{N}} \quad [6]$$

4.1. Non-linéarité

Prenons un problème de classification simple dans \mathfrak{R}^{20} avec des variables non corrélées et une frontière de décision non linéaire. Pour cela, il suffit de prendre deux gaussiennes de matrice de variance/covariance respectives $\Sigma_1 = 4 * I$ et $\Sigma_2 = I$ (où I est la matrice identité dans \mathfrak{R}^{20}). Pour que l'importance des variables soit progressive, nous avons choisi de placer les centres des gaussiennes de telle manière que les variables influent de plus en plus sur la frontière de décision. Ainsi, nous avons pris $\mu_1 = (0, \dots, 0)$ et $\mu_2 = (0, 1, 2, \dots, 19)/C$.

C sert de critère de recouvrement des deux classes : s'il est très grand la première classe (dont la variance est la plus grande) recouvre complètement la seconde ; s'il est proche de 0, les deux classes sont disjointes. Dans les deux cas, le problème de classification n'est pas intéressant. Nous avons alors fixé arbitrairement C pour avoir $\|\mu_1 - \mu_2\| = 2$ (où $\|\cdot\|$ est la norme euclidienne).

Pour nos diverses études, les bases d'apprentissage, de validation et de test ont respectivement 2 500, 2 500 et 5 000 éléments. Dans ce problème, l'importance des variables est progressive : x_1 est la variable la moins utile, x_2 est moins utile que x_3 , etc. Ainsi les dernières variables sont bien plus importantes que les premières, ce que l'on retrouve dans la table 2. Cette table nous montre aussi que Stepdisc n'est pas vraiment adapté au cas de frontières non linéaires, c'est la seule méthode à sélectionner x_1 qui est la variable la moins utile pour ce problème !

La figure 2 donne la répartition des méthodes de sélection de variables selon les performances des modèles obtenus (axe vertical) et le pourcentage de variables supprimées (axe horizontal). Les meilleures méthodes sont celles qui donnent le modèle le plus performant possible en supprimant le plus de variables possibles. Grâce à cette figure, il est possible de noter plusieurs comportements caractéristiques des différentes méthodes. De manière générale, La méthode proposée par Bonnländer (MIFS) avec un parcours *forward* ne sélectionne pas assez de variables. De même, le critère d'arrêt proposé par Yacoub (HVS) est trop brutal et ne supprime pas assez de variables.

Comme nous avons défini le problème pour que les variables ne soient pas corrélées, le réapprentissage entre chaque suppression de variables n'est pas utile. Les méthodes qui réestiment la mesure de pertinence à chaque étape (Yacoub, Leray, Cibas) semblent légèrement pénalisées par rapport aux autres (Dorizzi, Ruck, Czernichow).

Méthode	p^*	Variables sélectionnées	Performances
Aucune	20	11111111111111111111	94.80% [94.15 - 95.35]
Stepdisc	17	10001111111111111111	94.88% [94.23 - 95.43]
(Bonnlander)	5	00010000000000011011	90.60% [89.76 - 91.38]
(Yacoub)	18	01011111111111111111	94.86% [94.21 - 95.44]
(Moody)	9	01000100011000110111	92.94% [92.20 - 93.62]
(Ruck)	10	00000000101101111111	94.86% [94.21 - 95.44]
(Dorizzi)	11	00000000101111111111	94.66% [94.00 - 95.25]
(Czernichow)	9	00000000001101111111	94.02% [93.33 - 94.02]
(Cibas)	14	01001110010111111111	94.62% [93.96 - 95.21]
(Leray)	15	01011011101110111111	94.08% [93.39 - 94.70]

Tableau 2. Résultats comparatifs de plusieurs méthodes de sélection de variables pour un problème de classification non linéaire à deux classes

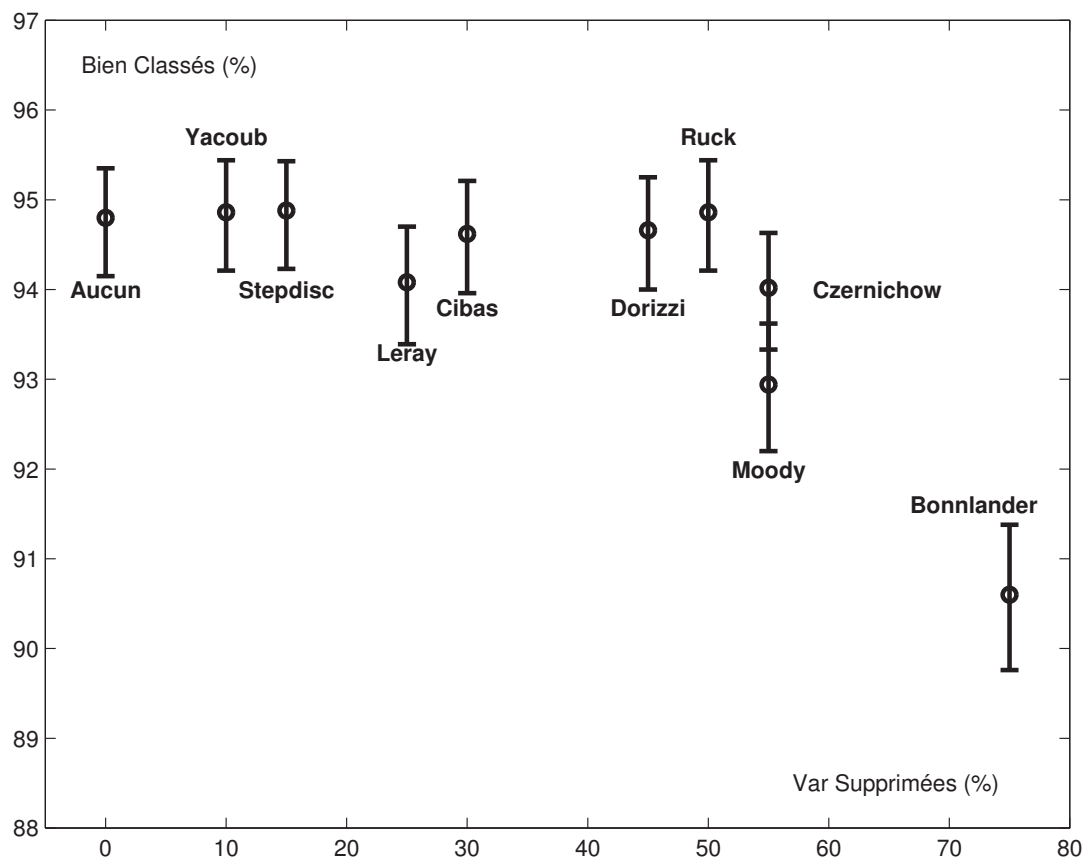


Figure 2. Comparaison des performances (avec intervalle de confiance) de différentes méthodes de sélection de variables pour un problème de classification non linéaire à deux classes : pourcentage de variables supprimées (axe horizontal) vs pourcentage de bonne classification (axe vertical)

4.2. Variable inutiles

Nous présentons dans le tableau 3 les résultats obtenus sur un problème de classification comportant un nombre important de variables inutiles.

Ce problème a été proposé par [BRE 84] et repris dans une variante bruitée par [DEB 91]. C'est un problème à 3 classes avec un ensemble de 21 variables de différents degrés de pertinence et 19 variables supplémentaires (bruit gaussien centré réduit) inutiles à la classification. Le nombre d'exemples est de 300 en apprentissage, 1 000 en validation et 4 300 en test. Les performances du classifieur de Bayes (performances optimales) ont été estimées par Breiman à 86 % de bonne classification.

Pour ce problème bruité, toutes les méthodes éliminent les variables de bruit pur. Exception faite la méthode proposée par Cibas, toutes les autres donnent des résultats similaires, aussi bien en termes de taux de classification (autour de 85 %) qu'en termes de nombre de variables sélectionnées (entre 11 et 14 pour Stepdisc, Bonnlander et Leray ; et entre 16 et 18 pour Yacoub, Moody, Ruck, Dorizzi et Czernichow).

Stepdisc donne de bons résultats par rapport au problème précédent : ici les frontières sont presque linéaires et les données sont unimodales.

Méthode	p^*	Variables sélectionnées	Performances
Aucune	40	11111111111111111111 (+19 vb)	82.51% [81.35 - 83.62]
Stepdisc	14	000110111111111011100 (+0 vb)	85.35% [84.26 - 86.38]
(Bonnlander)	12	000011101111111110000 (+0 vb)	85.12% [84.02 - 86.15]
(Yacoub)	16	000111111111111111100 (+0 vb)	85.16% [84.07 - 86.19]
(Moody)	16	000111111111111111100 (+0 vb)	85.19% [84.10 - 86.22]
(Ruck)(Dorizzi)	18	011111111111111111100 (+0 vb)	85.51% [84.43 - 86.53]
(Czernichow)	17	010111111111111111100 (+0 vb)	85.67% [84.59 - 86.69]
(Cibas)	9	000001111110111000000 (+0 vb)	82.26% [81.09 - 83.37]
(Leray)	11	000001111111111100000 (+0 vb)	84.56% [83.45 - 85.61]

Tableau 3. Résultats comparatifs de plusieurs méthodes de sélection de variables pour le problème des vagues de Breiman à 40 variables. Sont indiquées dans la colonne "Variables sélectionnées" celles retenues parmi les 21 variables informatives ainsi que le nombre de variables de bruit pur sélectionnées (vb)

4.3. Choix du critère d'arrêt

Reprenons le problème original des vagues de Breiman avec uniquement les 21 premières variables, plus ou moins utiles à la classification. Pour ce problème, non bruité, les résultats des méthodes changent : les méthodes utilisant un seuil comme critère d'arrêt ne sélectionnent plus assez de variables ou trouvent des modèles avec de moins bonnes performances.

Méthode	p^*	Variables sélectionnées	Performances
Aucune	21	1111111111111111111111	85.28% [84.19 - 86.31]
Stepdisc	14	001110101111111011100	84.19% [83.07 - 85.25]
(Bonnländer)	8	000001100111101010000	83.05% [81.90 - 84.14]
(Yacoub)	18	011111111111111111100	85.46% [84.38 - 86.48]
(Moody)	16	000111111111111111100	85.63% [84.55 - 86.65]
(Ruck)(Dorizzi)	12	0001111011111111010000	84.65% [83.54 - 85.70]
(Czernichow)	10	000110101011111010000	82.58% [81.42 - 83.68]
(Cibas)	15	001011111111111110100	85.23% [84.14 - 86.26]
(Leray)	13	000011111111111110000	85.67% [84.59 - 86.69]

Tableau 4. Résultats comparatifs de différentes méthodes de sélection de variables pour le problème des vagues de Breiman avec 21 variables

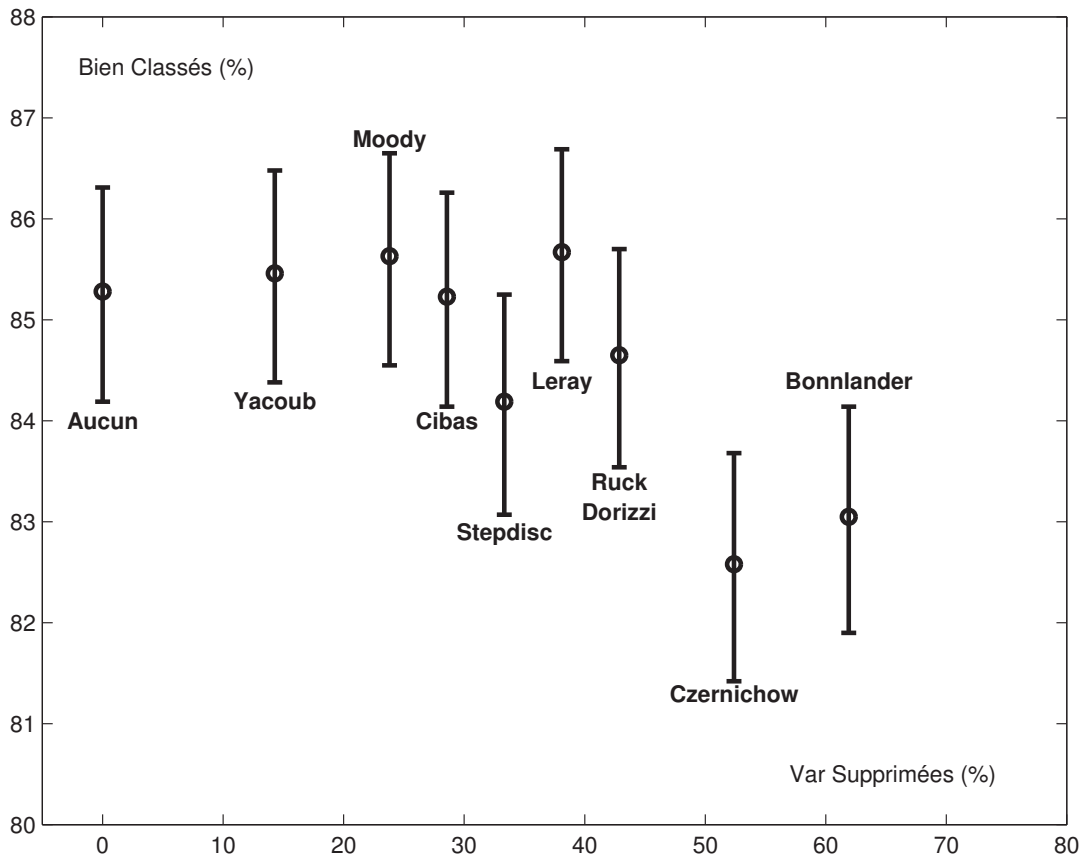


Figure 3. Comparaison des performances (avec intervalle de confiance) de différentes méthodes de sélection de variables pour le problème original des vagues de Breiman : pourcentage de variables supprimées (axe horizontal) vs pourcentage de bonne classification (axe vertical)

La figure 3 permet une nouvelle fois de noter plusieurs comportements caractéristiques des différentes méthodes. Comme en 4.1, la méthode proposée par Bonnländer (MIFS) avec un parcours *forward* ne sélectionne pas assez de variables. De même, le

critère d'arrêt proposé par Yacoub (HVS) est trop brutal et ne supprime pas assez de variables.

Cette figure montre cette fois-ci que notre méthode est satisfaisante en sélectionnant peu de variables avec de très bonnes performances. Notre critère d'arrêt basé sur un test statistique semble plus intéressant que les seuils fixés par l'utilisateur.

4.4. Variables corrélées

Prenons maintenant le problème à deux classes utilisé en 4.1 mais en le modifiant pour obtenir quatre groupes de cinq variables successives corrélées. Cette variante reprend les caractéristiques du problème précédent en remplaçant la matrice Identité utilisée pour Σ_1 et Σ_2 par une matrice diagonale par bloc (chaque bloc est de dimension 5 x 5). Ainsi le nouveau problème possède quatre groupes de cinq variables successives corrélées.

Méthode	p^*	Variables sélectionnées	Performances
Aucune	20	11111111111111111111	90.58% [89.74 - 91.36]
Stepdisc	11	00001101011010110111	91.96% [91.17 - 92.68]
(Bonnländer)	5	00001001010000100001	88.48% [87.57 - 89.34]
(Ruck)	10	00011001011110100011	91.06% [90.24 - 91.82]
(Leray)	7	00000010101010100011	90.72% [89.88 - 91.49]

Tableau 5. Résultats comparatifs de plusieurs méthodes de sélection de variables pour un problème de classification non linéaire à deux classes avec des variables corrélées

La table 5 donne les résultats de quelques méthodes représentatives pour ce problème. Stepdisc et la méthode de Ruck donnent de très bonnes performances, mais sélectionnent un grand nombre de variables corrélées. Comme pour les autres exemples, la méthode de Bonnländer retient très peu de variables et obtient des performances légèrement plus faibles que les autres méthodes. Notre méthode trouve un modèle possédant à la fois un faible nombre de variables (7 par rapport aux 10 et 11 de Ruck et Stepdisc) et de bonnes performances. En effet, le réapprentissage du réseau entre chaque sélection de variables permet de prendre en compte la corrélation entre variables, ce que ne fait pas la méthode de Ruck.

4.5. Problème réel de diagnostic

Dans [LER 98], nous avons appliqué notre première méthode de sélection de variable (N-OCD) à un problème de diagnostic dans le réseau téléphonique français. Pour cela, nous avons proposé une architecture modulaire dont le premier niveau devait traiter les données provenant de chaque centre de transit du réseau téléphonique

de ses paramètres optimaux. Ne pas réestimer les paramètres du modèle signifie que l'on considère toutes les variables indépendantes. Un réapprentissage est nécessaire si l'on désire prendre en compte la corrélation entre les variables (4.4) ;

– le rôle du critère d'arrêt est déterminant : un critère basé uniquement sur les variations de performances peut s'avérer trop brutal et stopper trop tôt la sélection (ou l'élimination) des variables (4.3) ;

– pour les problèmes de taille " raisonnable ", il semble intéressant de faire à la fois la sélection de variables et l'apprentissage du réseau de neurones (4.5).

L'observation de ces différents phénomènes nous a mené à proposer deux règles permettant d'améliorer à un moindre coût les méthodes dérivées d'OBD ainsi que la plupart des méthodes de sélection de variables neuronales existantes :

– il faut réapprendre le réseau à chaque étape, avant de réestimer la pertinence des variables ;

– le choix du meilleur ensemble de variables peut se faire grâce à l'estimation des performances sur un ensemble de test et à l'utilisation d'un test statistique pour déterminer l'ensemble de variables minimal.

Remerciements

Les auteurs tiennent à remercier les relecteurs pour les commentaires pertinents à propos de cet article.

6. Bibliographie

- [AKA 70] AKAIKE H., « Statistical Predictor Identification », *Ann. Inst. Statist. Math.*, vol. 22, 1970, p. 203-217.
- [AUR 91] AURAY J., DURU G., ZIGHED D., *Analyse de données multidimensionnelles. 3. Les méthodes d'explication*, Lacassagne, 1991.
- [BAT 94] BATTITI R., « Using Mutual Information for Selecting Features in Supervised Neural Net Learning », *IEEE Transactions on Neural Networks*, vol. 5, n° 4, 1994, p. 537-550.
- [BEN 92] BENNANI Y., *Approches connexionnistes pour la reconnaissance du locuteur : modélisation et identification*, Thèse de doctorat, Université d'Orsay, 1992.
- [BON 94] BONNLANDER B., WEIGEND A., « Selecting Input Variables Using Mutual Information and Nonparametric Density Evaluation », *Proceedings of ISANN'94*, Taiwan, 1994, p. 42-50.
- [BRE 84] BREIMAN L., FRIEDMAN J., OLSHEN R., STONE C., *Classification and Regression Trees*, Wadsworth International Group, 1984.
- [CIB 94] CIBAS T., FOGELMAN-SOULIÉ F., GALLINARI P., RAUDYS S., « Variable Selection with Optimal Cell Damage », *Proceedings of ICANN'94*, 1994.
- [CIB 96] CIBAS T., FOGELMAN-SOULIÉ F., GALLINARI P., RAUDYS S., « Variable Selection with Neural Networks », *Neurocomputing*, vol. 12, 1996, p. 223-248.

- [CZE 96] CZERNICHOW T., « Architecture Selection through Statistical Sensitivity Analysis », *Proceedings of ICANN'96*, Bochum, Germany, 1996.
- [DEB 91] DEBOLLIVIER M., GALLINARI P., THIRIA S., « Cooperation of Neural Nets and Task Decomposition », *Proceedings of IJCNN'91*, vol. 2, 1991, p. 573-576.
- [DOR 96] DORIZZI B., PELLIEUX G., JACQUET F., CZERNICHOW T., MUNOZ A., « Variable Selection Using Generalized RBF Networks : Application to the Forecast of the French T-Bonds », *Proceedings of IEEE-IMACS'96*, Lille, France, 1996.
- [GOU 97] GOUTTE C., « Extracting the Relevant Decays in Time Series Modelling », *Neural Networks for Signal Processing VII, Proceedings of the IEEE Workshop*, 1997.
- [GRA 98a] GRANDVALET Y., « Least absolute shrinkage is equivalent to quadratic penalization », NIKLASSON L., BODÉN M., ZIEMSKE T., Eds., *ICANN'98*, vol. 1 de *Perspectives in Neural Computing*, Springer, 1998, p. 201-206.
- [GRA 98b] GRANDVALET Y., CANU S., « Outcomes of the equivalence of adaptive ridge with least absolute shrinkage », KEARNS M., SOLLA S., COHN D., Eds., *Advances in Neural Information Processing Systems 11*, MIT Press, 1998, p. 445-451.
- [GUS 95] GUSTAFSSON, HJALMARSSON, « 21 maximum likelihood estimators for model selection », *Automatica*, vol. 31, n° 10, 1995, p. 1377-1392.
- [HAS 93] HASSIBI B., STORK D. G., « Second Order Derivatives for Network Pruning : Optimal Brain Surgeon », HANSON S. J., COWAN J. D., GILES C. L., Eds., *Advances in Neural Information Processing Systems*, vol. 5, Morgan Kaufmann, San Mateo, CA, 1993, p. 164-171.
- [HAS 94] HASSIBI B., STORK D. G., WOLFF G., « Optimal Brain Surgeon : Extensions and performance comparison », COWAN J. D., TESAURO G., ALSPECTOR J., Eds., *Advances in Neural Information Processing Systems*, vol. 6, Morgan Kaufmann Publishers, Inc., 1994, p. 263-270.
- [KIT 86] KITTLER J., « Feature Selection and Extraction », YOUNG T., FU K., Eds., *Handbook of Pattern Recognition and Image Processing*, chapitre 3, p. 59-83, Academic Press, 1986.
- [LAR 94] LARSEN J., HANSEN L., « Generalized performances of regularized neural networks models », *Proceedings of the 1994 IEEE Workshop on Neural Networks for Signal Processing*, 1994, p. 42-51.
- [LEC 90] LECUN Y., DENKER J., SOLLA S., « Optimal Brain Damage », *Advances in Neural Information Processing Systems*, vol. 2, Morgan Kaufmann, 1990, p. 598-605.
- [LER 97] LERAY P., GALLINARI P., « Report on Variable Selection », Neurosat project, environment and climate dg iii, science, research and development env4-ctp96-0314, d1-1-1., 1997, LIP6.
- [LER 98] LERAY P., *Apprentissage et Diagnostic de Systèmes Complexes : Réseaux de Neurones et Réseaux Bayésiens - Application à la gestion en temps réel du trafic téléphonique français*, Thèse de doctorat, Université Paris 6, 1998.
- [LER 99] LERAY P., GALLINARI P., « Feature Selection with Neural Networks », *Behaviormetrika (Special Issue on Analysis of Knowledge Representation in Neural Network Models)*, vol. 26, n° 1, 1999, p. 145-166.
- [MAO 94] MAO J., MOHIUDDIN K., JAIN A., « Parsimonious Network Design and Feature Selection Through Node Pruning », *Proceedings of the 12th International Conference on Pattern Recognition*, 1994, p. 622-624.

- [MOO 91] MOODY J., « Note on generalization, regularization and architecture selection in non linear learning systems », *Proceedings of the first IEEE Workshop on Neural Networks for Signal Processing*, 1991, p. 1-10.
- [MOO 92] MOODY J., UTANS J., « Principled Architecture Selection for Neural Networks : Application to Corporate Bond Rating Prediction », MOODY J. E., HANSON S. J., LIPPMANN R. P., Eds., *Advances in Neural Information Processing Systems*, vol. 4, Morgan Kaufmann Publishers, Inc., 1992, p. 683-690.
- [MOO 94] MOODY J., « Prediction risk and architecture selection for neural networks », V. CHERKASSKY J. F., WECHSLER H., Eds., *From Statistics to Neural Networks*, p. 143-156, Springer Verlag, 1994.
- [PED 96] PEDERSEN M. W., HANSEN L. K., LARSEN J., « Pruning with generalization based weight saliencies : γ OBD, γ OBS », TOURETZKY D. S., MOZER M. C., HASSELMO M. E., Eds., *Advances in Neural Information Processing Systems*, vol. 8, The MIT Press, 1996, p. 521-527.
- [RUC 90] RUCK D., ROGERS S., KABRISKY M., « Feature Selection Using a MultiLayer Perceptron », *J. Neural Network Comput.*, vol. 2, n° 2, 1990, p. 40-48.
- [SAP 90] SAPORTA G., *Probabilités, Analyse des données et Statistiques*, Editions Technip, 1990.
- [STA 97] STAHLBERGER A., RIEDMILLER M., « Fast Network Pruning and Feature Extraction by using the Unit-OBS Algorithm », MOZER M. C., JORDAN M. I., PETSCHKE T., Eds., *Advances in Neural Information Processing Systems*, vol. 9, The MIT Press, 1997, p. 655-661.
- [TRE 97] TRESP V., NEUNEIER R., ZIMMERMANN H. G., « Early Brain Damage », MOZER M. C., JORDAN M. I., PETSCHKE T., Eds., *Advances in Neural Information Processing Systems*, vol. 9, The MIT Press, 1997, p. 669-675.
- [Van 97] VAN DE LAAR P., GIELEN S., HESKES T., « Input Selection with Partial Retraining », *Proceedings of ICANN'97*, 1997.
- [YAC 97] YACOB M., BENNANI Y., « HVS : A Heuristic for Variable Selection in Multilayer Artificial Neural Network Classifier », *Proceedings of ANNIE'97*, 1997, p. 527-532.
- [ZAP 99] ZAPRANIS A., REFENES A., *Principles of neural model identification, selection and adequacy*, Springer-Verlag, 1999.